

ИЗМЕНЕНИЕ ЭЛЕКТРОННЫХ СВОЙСТВ СИСТЕМЫ Si—SiO₂ ПРИ ЛАЗЕРНОМ ОБЛУЧЕНИИ

Кириллова С. И., Моин М. Д., Примаченко В. Е., Свечников С. В.,
Чернобай В. А., Дубров И. Н.

Методом температурных зависимостей поверхностной фотоэдс исследованы электронные свойства системы Si—SiO₂ после воздействия излучения рубинового лазера наносекундной длительности с энергией импульса, изменяющейся в пределах $W = 0\text{--}1 \text{ Дж}/\text{см}^2$. Получены немонотонные зависимости поверхностного потенциала кремния от энергии импульса W с резким изменением величины и знака потенциала при $W = 0.7 \text{ Дж}/\text{см}^2$ (энергия плавления кремния). Рассчитаны плотности быстрых поверхностных электронных состояний (ПЭС) на границе Si—SiO₂ после облучения системы. Показано, что плотность ПЭС и их распределение в запрещенной зоне изменяются с ростом W . При энергиях $W < 0.5 \text{ Дж}/\text{см}^2$ плотность ПЭС уменьшается, что связано с переходом системы Si—SiO₂ в более равновесное состояние. При $W > 0.6 \text{ Дж}/\text{см}^2$ наблюдается рост плотности ПЭС в связи с преобладанием дефектообразования на границе Si—SiO₂.

Воздействие лазерного излучения на поверхность полупроводника может привести к изменению ее структурно-морфологических и электрофизических свойств. Эти изменения зависят от характера лазерного излучения, а именно от длины волны излучения, длительности и энергии лазерного импульса [¹].

Изменение электрофизических свойств кремния при использовании лазерного излучения наносекундного диапазона в большинстве работ наблюдалось при энергиях импульса, сравнимых или больше энергии плавления поверхности кремния [¹—⁴]. Однако в работе [⁵], где исследовались скорость поверхностной рекомбинации и плотность быстрых ПЭС на реальной поверхности кремния после воздействия на нее импульсов второй гармоники неодимового лазера, были определены пороги изменения этих величин соответственно при энергиях 0.045 и 0.09 Дж/см², что значительно ниже энергии плавления поверхности кремния.

В данной работе исследовано влияние импульсов излучения рубинового лазера ($\lambda = 0.69 \text{ мкм}$) наносекундной длительности (20 нс) с энергией, изменяющейся в пределах $W = 0\text{--}1.0 \text{ Дж}/\text{см}^2$, на электронные свойства системы Si—SiO₂. Система Si—SiO₂ облучалась как одиночными лазерными импульсами, так и их цугом из 10 импульсов. Диаметр гомогенизированного пучка света в плоскости образца был порядка 8 мм.

Эксперименты были проведены на образцах *n*-Si с удельным сопротивлением 128 Ом·см и ориентацией поверхности (111), окисленных при 800 °C в атмосфере сухого (30 мин), влажного (180 мин) и затем вновь сухого (30 мин) кислорода. Охлаждение образцов от 800 до 400 °C проводилось в течение 4 ч в сухом O₂. Толщина оксидной пленки была равной 400 нм. Для вплавления в кремний омических контактов Au(Sb) в пленке SiO₂ с помощью HF вытравливались окна.

Электронные свойства исходной системы Si—SiO₂ и после облучения ее лазерными импульсами с разной энергией исследовались методом температурных зависимостей поверхностной фотоэдс в условиях реализации режима насыщения сигнала с ростом интенсивности импульса света лампы-вспышки, что позволяло определять поверхностный потенциал кремния φ_s [⁶, ⁷]. Температурные зависимости φ_s снимались в вакууме 10^{-4} Па при понижении температуры от

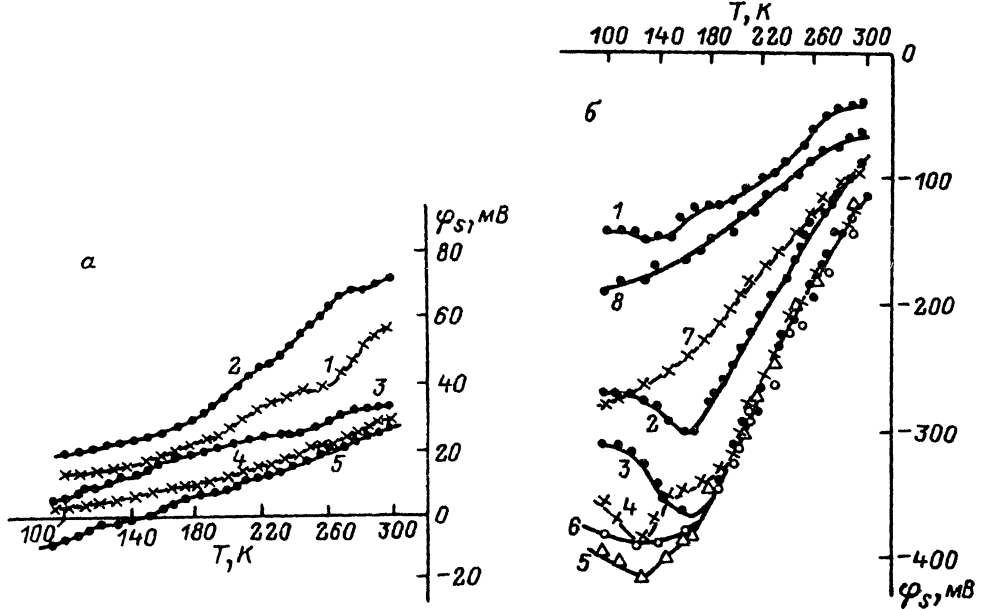


Рис. 1. Зависимость поверхностного потенциала кремния φ_s в системе Si—SiO₂ от температуры.
 а: 1 — необлученная система, 2—5 — облученная лазером с энергией импульсов W соответственно 0.1, 0.2, 0.3, 0.6 Дж/см².
 б: 1, 2 — облученная соответственно 1 и 10 лазерными импульсами с $W=0.7$ Дж/см²; 3, 4 — соответственно 1 и 10 импульсами с 0.8 Дж/см²; 5, 6 — 10 импульсами соответственно 0.9 и 1.0 Дж/см²; 7 — после обработки в HF, 8 — после стравливания слоя кремния толщиной 0.1 мкм.

300 до 100 К в течение 2 ч. После облучения системы Si—SiO₂ лазером с энергией импульсов $W > 0.7$ Дж/см² в области $T < 200$ К наблюдалась фотопамять поверхности потенциала, связанная с захватом неосновных носителей (дырок) на быстрые ПЭС [8]. Поэтому определение потенциала φ_s производилось по первому импульсу света лампы-вспышки. Для освобождения ПЭС от захваченных дырок перед определением φ_s в области $T < 200$ К каждый раз производился отогрев образца до температуры выше 200 К с последующим его охлаждением в темноте до температуры измерения.

На рис. 1, а, б дан ряд зависимостей поверхностного потенциала кремния $\varphi_s(T)$, полученных при понижении температуры системы Si—SiO₂ от 300 до 100 К после облучения ее лазерными импульсами с определенной энергией. В зависимости от энергии лазерного облучения W можно выделить несколько характерных областей изменения величины φ_s , что хорошо видно из рис. 2, где для двух температур представлены зависимости $\varphi_s(W)$. При энергиях лазерного импульса 0.05 и 0.1 Дж/см² значения φ_s несколько возрастают, затем при 0.2 и 0.3 Дж/см² уменьшаются ниже исходного значения. В области 0.3—0.6 Дж/см² с ростом W наблюдается лишь слабое уменьшение значений φ_s . Как будет видно дальше, все эти изменения φ_s при облучении системы Si—SiO₂ лазерными импульсами с $W < 0.6$ Дж/см² можно объяснить изменением концентрации и энергетического распределения быстрых ПЭС на границе раздела Si—SiO₂. При $W = 0.7$ Дж/см², соответствующей энергии начала плавления поверхности кремния [9], наблюдается резкое уменьшение φ_s с установлением его отрицательного значения во всей температурной области, т. е. на поверхности кремния формируется взамен обогащенного истощенный электронами слой. Это связано с резким возрастанием концентрации быстрых ПЭС, а также с уменьшением встроенного в оксид положительного заряда вследствие частичного разрушения сплошности оксидной пленки. Наконец, в области 0.8—1.0 Дж/см² поверхностный

потенциал кремния φ_s , с ростом энергии лазерного импульса W практически не изменяется.

Из рис. 2 видна роль в изменении значения φ_s величины энергии лазерного импульса W и количества импульсов с одной энергией. Количество импульсов играет заметную роль на участках сильного изменения φ_s с W . На участках же слабой зависимости φ_s от W значения φ_s , полученные при облучении системы Si—SiO₂ одним импульсом или десятью импульсами, практически совпадают. Это значит, что главную роль в изменении φ_s при лазерном облучении играет энергия лазерного импульса, а не количество импульсов.

Проанализируем зависимости поверхностного потенциала кремния φ_s от температуры (рис. 1, а, б). За исключением низкотемпературных участков зависимостей, полученных после облучения с $W > 0.7 \text{ Дж/см}^2$, всегда наблюдается уменьшение φ_s с понижением температуры. Оно связано с заполнением электронами быстрых ПЭС при перемещении уровня Ферми с понижением температуры к c -зоне. Большая крутизна зависимостей $\varphi_s(T)$ соответствует большей плотности ПЭС. Видно, что она минимальная для кривой 4, полученной после облучения образца лазерными импульсами с энергией 0.3 Дж/см². После лазерного облучения с энергиями 0.4 и 0.5 Дж/см² зависимости $\varphi_s(T)$ слабо отличались от кривой 4. Однако после облучения с $W = 0.6 \text{ Дж/см}^2$ наклон $\varphi_s(T)$ возрастает (кривая 5). При понижении температуры на этой зависимости наблюдается переход от обогащенного слоя к истощенному с реализацией условия плоских зон при $T = 150 \text{ K}$.

Резко возрастает наклон зависимостей $\varphi_s(T)$ при облучении системы Si—SiO₂ лазерными импульсами с энергией больше энергии плавления кремния $W > 0.7 \text{ Дж/см}^2$. Все кривые $\varphi_s(T)$, полученные после такой лазерной обработки (рис. 1, б), имеют отрицательные значения φ_s , причем значения φ_s в области 300—200 K для одинаковых температур совпадают при изменении количества лазерных импульсов и их энергии в пределах 0.8—1 Дж/см². Однако ход зависимостей $\varphi_s(T)$ (кривые 3—6) различается при $T < 200 \text{ K}$. Это связано с разной структурой, прежде всего разной степенью сплошности оксидной пленки. Появление рельефа (коробление) оксидной пленки наблюдалось с помощью оптического микроскопа уже после облучения образца одним лазерным импульсом с $W = 0.7 \text{ Дж/см}^2$. После облучения десятью импульсами наблюдались оголенные от SiO₂ участки размером 10^{-4} — 10^{-2} мм^2 , их общая площадь составляла ~5% всей площади. С дальнейшим увеличением энергии и количества лазерных импульсов удаление оксидной пленки достигало значения 40—50% всей площади. Упругие напряжения, изменяющиеся с понижением температуры на границе Si—SiO₂ при таком неоднородном слое оксида, объясняют образование минимумов на кривых 1—6. Эти минимумы менее ярко выражены при небольшом (кривая 1) или сильном (кривая 6) нарушении сплошности оксидной пленки. Измерение зависимости $\varphi_s(T)$ сразу после удаления в HF остающейся оксидной пленки дало кривую 7, на которой минимум отсутствовал совсем.

Меньший наклон кривой 7 по сравнению с кривыми 3—6 в области 300—200 K свидетельствует о том, что значительная часть дефектов, возникающих при лазерном облучении, находится на границе Si—SiO₂. Непосредственно в пленке SiO₂ под действием лазерного облучения дефекты, очевидно, не возникают, так как повреждение SiO₂ светом из области прозрачности наблюдается при значительных ($W = 2200 \text{ Дж/см}^2$) энергиях [10]. С другой стороны, лазерное облучение создает дефекты в приповерхностном слое кремния [3—5]. Этот слой тоньше длины экранирования кремния, о чем свидетельствуют наши эксперименты по стравливанию 0.1 мкм кремния в медленно травящем травителе на основе HNO₃:HF. После такого стравливания и промывки в HF (для идентификации условий обработки поверхности) была получена зависимость $\varphi_s(T)$ (кривая 8) с еще меньшим наклоном, что свидетельствует об удалении дефектов кремния, находящихся в области $d < 0.1 \text{ мкм}$ и проявляющихся в условиях нашего эксперимента как поверхностные электронные состояния. Дальнейшее стравливание слоев

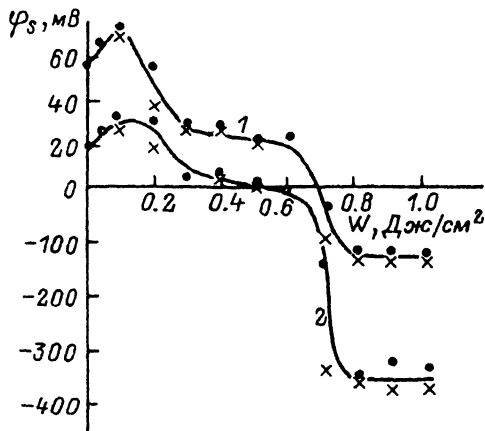


Рис. 2. Зависимость поверхностного потенциала кремния φ_s в системе Si—SiO₂ от энергии облучающих систему лазерных импульсов.

Точки — 1 импульс, крестики — 10¹ импульсов. Т, К: 1 — 290, 2 — 150.

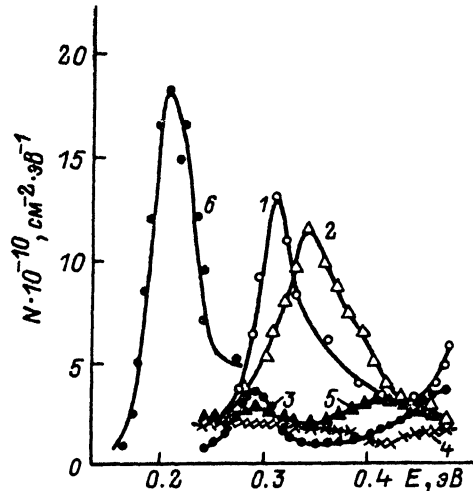


Рис. 3. Распределение концентрации ПЭС на границе Si—SiO₂ по энергии E выше середины запрещенной зоны E_i .

1 — необлученная система Si—SiO₂, 2—6 — облученная лазером соответственно с энергиями импульсов 0.1, 0.2, 0.3, 0.6, 0.7 Дж/см².

кремния практически не изменяло наклон зависимостей $\varphi_s(T)$ по сравнению с кривой 8, т. е. лазерное излучение на глубине больше 0.1 мкм дефектов практически не создает, и наклон кривой 8 определяется плотностью ПЭС реальной поверхности кремния, формируемой травлением.

Определенному значению поверхностного потенциала φ_s соответствует заряд Q_{sv} в приповерхностной области кремния (ОПЗ) на длине экранирования. Этому заряду с обратным знаком равна сумма встроенного в оксида заряда и заряда в быстрых ПЭС. С изменением температуры встроенный в оксиде положительный заряд, можно полагать, остается неизменным, поэтому изменение заряда Q_{sv} с изменением φ_s при понижении температуры равно по абсолютной величине изменению заряда Q_s в быстрых ПЭС. Были рассчитаны и построены зависимости Q_s от потенциала $\Psi_s = \varphi_s + \varphi_B$, где величины $q\varphi_B$ и $q\varphi_s$ равны расстоянию между серединой запрещенной зоны E_i и уровнем Ферми соответственно в объеме и на поверхности полупроводника [6, 8]. Из полученных зависимостей $Q_s(\Psi_s)$ можно определить плотность быстрых ПЭС в исследуемом промежутке запрещенной зоны как $N_s = |\Delta Q_s| / \Delta(q\Psi_s)$.

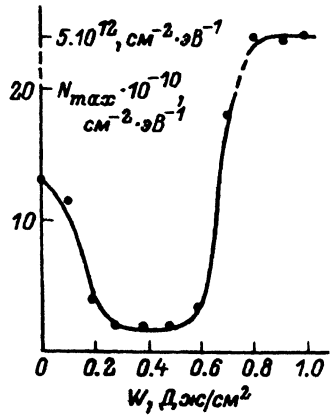
На рис. 3 представлены полученные распределения плотности N_s быстрых ПЭС по энергии E выше середины запрещенной зоны E_i для различных состояний системы Si—SiO₂. Видно, что с ростом энергии лазерного излучения меняются плотность ПЭС и ее распределение в исследованном участке запрещенной зоны. До лазерного облучения для спектра ПЭС характерен пик плотности при $E-E_i = 0.31$ эВ, равный $1.3 \cdot 10^{11} \text{ см}^{-2} \cdot \text{эВ}^{-1}$ (кривая 1). После лазерного облучения с энергией $W = 0.1$ Дж/см² максимум плотности ПЭС сдвигается к $E-E_i = 0.354$ эВ, а само распределение ПЭС уширяется (кривая 2). Существенно уменьшается плотность ПЭС после облучения системы Si—SiO₂ лазерными импульсами с энергиями 0.2 и 0.3 Дж/см² (соответственно кривые 3 и 4). На кривой 4 совсем отсутствуют пики плотности ПЭС, электронные состояния распределены равномерно в области 0.2—0.5 эВ выше E_i с плотностью

Рис. 4. Зависимость максимальной концентрации ПЭС на границе системы Si—SiO₂ от энергии облучающих систему лазерных импульсов.

(1—2) · 10¹⁰ см⁻² · эВ⁻¹. Эта плотность состояний практически не меняется при облучении с энергиями 0.4 и 0.5 Дж/см², однако после облучения с энергией 0.6 Дж/см² наблюдается некоторый ее рост (кривая 5), причем проявляются небольшие пики при $E - E_i = 0.29$ и 0.41 эВ. После облучения импульсом с $W = 0.7$ Дж/см² (энергия плавления кремния) происходит резкое возрастание плотности ПЭС. Удаётся определить пик плотности при $E - E_i = 0.21$ эВ с концентрацией 1.8 · 10¹¹ см⁻² · эВ⁻¹. При дальнейшем росте энергии лазерных импульсов ввиду роста плотности ПЭС их распределение по энергии определить не удалось из-за практической фиксации уровня Ферми на поверхности. Проведены лишь оценки максимальной концентрации ПЭС N_{\max} . Зависимость N_{\max} от энергии лазерного облучения представлена на рис. 4.

Из рис. 3 и 4 видно, что вначале с ростом энергии лазерных импульсов плотность ПЭС в системе Si—SiO₂ уменьшается, достигая минимального значения при 0.3—0.5 Дж/см², и лишь затем возрастает. Эти результаты коренным образом отличаются от результатов, полученных на реальной поверхности кремния, где плотность ПЭС при лазерном облучении возрастила начиная с порогового значения энергии 0.09 Дж/см² [5]. Разные результаты объясняются физико-химическим отличием реальной поверхности кремния и системы Si—SiO₂. Система Si—SiO₂, полученная при высокотемпературном окислении кремния, упруго напряжена в связи с структурными перестройками при росте диэлектрика и за счет разницы в коэффициентах термического расширения кремния и двуокиси кремния. Величина напряжений особенно велика на границе Si—SiO₂, где существует промежуточный слой, обогащенный в оксиде кремнием, а в кремни—кислородом и различными структурными дефектами, возникающими в процессе окисления [11]. Система ПЭС на границе Si—SiO₂ формируется строением этого переходного слоя, наличием в нем напряженных и оборванных связей Si—Si и Si—O. В частности, к формированию системы ПЭС могут привести флуктуации заряда в кремне—кислородных тетраэдрах на границе раздела за счет изменения углов связи как в самих тетраэдрах, так и между ними [12].

Вполне естественно, что лазерное излучение с умеренной энергией при воздействии на систему Si—SiO₂ с напряженным промежуточным слоем приводит к структурной перестройке на границе раздела с переходом системы Si—SiO₂ в более равновесное состояние, например, за счет переориентации в пространстве кремне—кислородных тетраэдров. Эти соображения подтверждаются результатами работ [13, 14], в которых было показано уменьшение упругих напряжений на границах разных гетеропереходов, в том числе и Si—SiO₂, при различных радиационных воздействиях, включая лазерные. Упорядочение границы раздела Si—SiO₂ при облучении и частичное снятие с нее напряжений могут объяснить уменьшение плотности ПЭС и перестройку их энергетического спектра, наблюдавшиеся при энергиях лазерного импульса $W = 0.3$ —0.5 Дж/см². Оценки показывают, что при таких энергиях импульса поверхность кремния разогревается до температур 400—800 °C. В связи с этим отметим, что подобное уменьшение плотности ПЭС наблюдалось при низкотемпературном (400 °C) термическом отжиге системы Si—SiO₂ [11], хотя, конечно, условия и механизмы лазерного и термического отжигов существенно различаются.



Рост плотности ПЭС после облучения системы Si—SiO₂ лазерными импульсами с энергией $W > 0.5 \text{ Дж}/\text{см}^2$ обусловлен преобладанием механизма дефектообразования на границе Si—SiO₂ и в тонкой (меньше 0.1 мкм) приповерхностной области кремния. Факт, что дефектообразование происходит вблизи границы раздела, хотя излучение лазера поглощается на глубине порядка 4 мкм, свидетельствует об ослабленности атомных связей в этой области и насыщенности ее биографическими дефектами, которые могут инициировать дополнительное дефектообразование при лазерном облучении [⁵]. Причиной образования дефектов при лазерном облучении может быть одновременное действие трех факторов: возбуждения электронно-дырочных пар в приповерхностной области полупроводника, нагрева этой области за счет электрон-фононного взаимодействия, а также возникновения термоупругих напряжений на границе Si—SiO₂ [¹⁵]. При энергиях же лазерного импульса выше порога плавления кремния ($W \geq 0.7 \text{ Дж}/\text{см}^2$) существенную роль в образовании дефектов играют процессы плавления и остывания кремния, в частности, обусловленные неоднородным их характером на поверхности [¹⁶].

СПИСОК ЛИТЕРАТУРЫ

- [1] Готра З. Ю., Осередько С. А. // Зарубежн. электрон. техн. 1985. № 12. С. 3—52.
- [2] Зуев В. А., Литовченко В. Г., Сукач Г. А., Торчун Н. Н. // УФЖ. 1976. Т. 21. В. 5. С. 750—752.
- [3] Качурин Г. А., Ныдаев Е. В., Попов А. И. // ФТП. 1982. Т. 16. В. 6. С. 1078—1081.
- [4] Hlavka J., Jelenkova H., Hamal K., Prochocky V. // J. Appl. Phys. 1984. V. 56. N 4. P. 1245—1246.
- [5] Кацкаров П. К., Киселев В. Ф. // Изв. АН СССР. Сер. физ. 1986. Т. 50. В. 3. С. 435—439.
- [6] Кириллова С. И., Примаченко В. Е., Чернобай В. В., Снитко О. В. // Поверхность. 1991. № 11. С. 74—79.
- [7] Саченко А. В., Снитко О. В. Фотоэффекты в приповерхностных слоях полупроводников. Киев, 1984. 232 с.
- [8] Примаченко В. Е., Снитко О. В. Физика легированной металлами поверхности полупроводников. Киев, 1988. 232 с.
- [9] Карпов С. Ю., Ковальчук Ю. В., Погорельский Ю. В. // ФТП. 1986. Т. 20. В. 11. С. 1945—1949.
- [10] Merkle L. P., Koumvakalis N., Bass M. // J. Appl. Phys. 1984. V. 55. N 3. P. 772—775.
- [11] Литовченко В. Г., Горбань А. П. Основы физики микроэлектронных систем металл—диэлектрик—полупроводник. Киев, 1978. 316 с.
- [12] Вавилов В. С., Киселев В. Ф., Мукашев Б. Н. Дефекты в кремнии и на его поверхности. М., 1990. 216 с.
- [13] Матвеева Л. А., Семенова Г. Н., Хазан Л. С. Физика окисных пленок. Петрозаводск, 1987. Ч. 2. С. 31—32.
- [14] Матвеева Л. А., Тхорик Ю. А., Свиридов П. В. // Докл. Межд. совещ. по фотоэлектрическим и оптическим явлениям в твердом теле. Варна, 1989. С. 101.
- [15] Емельянов В. И., Кацкаров П. К. // Поверхность. 1990. № 2. С. 77—85.
- [16] Малевич В. Л., Ивлев Г. Д. // Поверхность. 1990. № 5. С. 157—158.

Институт полупроводников
АН Украины
Киев

Получена 31.07.1991
Принята к печати 13.02.1992